УДК 544.032.732;547.898

## ЭНЕРГИЯ ГИББСА ПЕРЕНОСА КРИПТАНДА[2.2.2] ИЗ ВОДЫ В ВОДНО-ДИМЕТИЛСУЛЬФОКСИДНЫЙ РАСТВОРИТЕЛЬ

© 2024 г. В. А. Исаева<sup>1</sup>, Е. И. Погодина<sup>1</sup>, А. С. Католикова<sup>1</sup>, К. В. Граждан<sup>1,\*</sup>

<sup>1</sup> Ивановский государственный химико-технологический университет, Иваново, 153000 Россия \*e-mail: grazhdan kv@isuct.ru

Поступило в редакцию 5 марта 2024 г. После доработки 10 апреля 2024 г. Принято к печати 12 апреля 2024 г.

В работе представлены значения энергии Гиббса переноса криптанда[2.2.2] из воды в смешанный растворитель вода—диметилсульфоксид с переменным содержанием органического компонента. Определение энергии Гиббса переноса выполнено методом межфазного распределения вещества между несмешивающимися фазами при температуре 298 К. Установлено, что с ростом концентрации диметилсульфоксида в растворе происходит ослабление сольватации криптанда[2.2.2].

**Ключевые слова:** криптанд, сольватация, коэффициент распределения, энергия Гиббса, водно-диметилсульфоксидный растворитель

DOI: 10.31857/S0044460X24020106, EDN: GUURTI

### ВВЕДЕНИЕ

Неводные и водно-органические растворители находят широкое применение в науке и технологии: в аналитических целях [1-4], химическом синтезе, электрохимических, фармацевтических производствах, в электронике, гидрометаллургии [4–11]. Эффекты сольватации в многокомпонентных растворах оказывают влияние на равновесие, кинетику и механизм жидкофазных процессов [11–13]. Информация о термодинамических параметрах пересольватации ионов и молекул при переходе от одного растворителя к другому необходима для интерпретации реакционной способности заряженных и нейтральных частиц в растворах, прогнозирования ускоряющего либо ингибирующего действия растворителя на химические реакции, влияния среды на селективность процессов и смещение химического равновесия [11–13]. Этим определяется актуальность многочисленных исследований сольватации частиц в неводных и смешанных растворителях, включающих как экспериментальные, так и расчетные методы определения термодинамических характеристик процесса [11, 14, 15].

В настоящей работе поставлена задача определения значений энергии Гиббса переноса криптанда[2.2.2] из воды в водно-диметилсульфоксидный растворитель. Диметилсульфоксид и его смеси с водой используются в электрохимических процессах, биологических исследованиях, процессах экстракции, в косметологии, фармацевтике, кожевенном производстве [8, 10, 12, 16, 17]. Криптанды, благодаря высокой селективности связывания катионов и анионов, находят применение как экстрагенты для металлов, высокоселективные сорбенты, ионофоры, катализаторы межфазного переноса, для аналитического определения микрокомпонентов в природных и промышленных объектах, для синтеза препаратов медико-фармацевтического назначения [18–20]. Применение в процессах с участием криптандов неводных и смешанных растворителей, способных в том числе повышать селективность связывания ионов [13, 21], стимулирует исследования, связанные с определением термодинамических параметров сольватации макроциклов.

254 ИСАЕВА и др.

#### РЕЗУЛЬТАТЫ И ОБСУЖДЕНИЕ

Для определения энергии Гиббса переноса криптанда[2.2.2] из воды в водно-диметилсульфоксидный растворитель использовали метод распределения частиц между двумя несмешивающимися фазами. В качестве неполярной фазы в настоящей работе был выбран гексан. При выборе неполярного растворителя, который не смешивался бы с водными растворами диметилсульфоксида, опирались на миксотропный ряд растворителей [22], а также данные работы [23], в которой рефрактометрическим методом проведен контроль смешиваемости системы вода-диметилсульфоксид-гексан, на основании чего установлено, что гексан не смешивается с воднодиметилсульфоксидным растворителем в области концентраций диметилсульфоксида (ДМСО) 0.0-0.9 мол. доли.

Для расчета энергий Гиббса переноса криптанда [2.2.2] из воды в водно-диметилсульфоксидный растворитель использовали экспериментально полученные значения коэффициентов распределения криптанда [2.2.2] между несмешивающимися фазами вода—гексан  $(k_1)$  и водно-диметилсульфоксидный растворитель — гексан  $(k_2)$ :

$$\Delta_{tr}G^{\circ} = RT\ln([\operatorname{Cryp}]^{w}/[\operatorname{Cryp}]^{\operatorname{mix}}) = RT\ln(k_{2}/k_{1}). \quad (1)$$

Коэффициенты распределения криптанда[2.2.2] между несмешивающимися фазами рассчитывали по уравнениям (2), (3):

$$k_1 = [\text{Cryp}]^{\text{hex}}/[\text{Cryp}]^{\text{w}}, \tag{2}$$

$$k_2 = [\text{Cryp}]^{\text{hex}}/[\text{Cryp}]^{\text{mix}},$$
 (3)

где  $[Cryp]^i$  — равновесная концентрация криптанда[2.2.2] в воде (w), водно-диметилсульфоксидном растворителе (mix) или гексане (hex).

Погрешность определения  $k_1$  и  $k_2$  оценивали, как среднеквадратичное отклонение результатов отдельных измерений от среднего значения измеряемой величины, исходя из обработки результатов параллельных опытов. Для оценки погрешности значений  $\Delta G^{\circ}$  переноса криптанда[2.2.2] из воды в растворитель вода-диметилсульфоксид использовали формулы определения погрешности косвенно определяемых величин [24].

Результаты определения коэффициентов распределения криптанда [2.2.2] между несмешивающимися фазами вода—гексан и водно-диметилсульфоксидный растворитель—гексан приведены в табл. 1. Данные табл. 1 показывают, что, несмотря на значительный рост величины  $k_2$  с повышением содержания ДМСО в растворе, в целом значения коэффициентов распределения криптанда [2.2.2] между водно-диметилсульфоксидным растворителем и гексаном не превышают единицы, что свидетельствует о термодинамической невыгодности переноса криптанда [2.2.2] из смешанного в безводный органический неполярный растворитель.

Значения энергий Гиббса переноса криптанда [2.2.2] из воды в растворитель вода—ДМСО, рассчитанные по коэффициентам распределения, приведены в табл. 1. Собственные данные дополнены значениями  $\Delta G^{\circ}$  переноса криптанда [2.2.2] из воды в диметилсульфоксид, взятыми из работ [25, 26]. Полученные нами результаты и данные [25, 26] свидетельствуют, что насыщение раствора органическим сорастворителем приводит к ослаблению сольватации макроцикла.

Перед проведением эксперимента по определению энергии Гиббса переноса криптанда[2.2.2] из воды в водно-диметилсульфоксидный растворитель была сделана попытка оценить эту величину рас-

**Таблица 1.** Коэффициенты распределения криптанда[2.2.2] между несмешивающимися фазами водатексан  $(k_1)$ , водно-диметилсульфоксидный растворительтексан  $(k_2)$  и энергия Гиббса переноса криптанда[2.2.2] из воды в водно-диметилсульфоксидный растворитель при 298 К.

$x_{\text{ДМСО}},$ мол. доля	$k_1 \pm 0.029$	k <sub>2</sub> ±0.039	$\Delta_{\mathrm{tr}}G^{\circ},$ кДж/моль
0.0	0.069		0.0
0.1		0.289	3.51
0.2		0.385	4.26
0.3		0.521	5.01
0.4		0.551	5.15
0.5		0.637	5.51
0.6		0.667	5.62
0.8		0.811	6.11
1.0			6.44 [25] 6.99 [29]

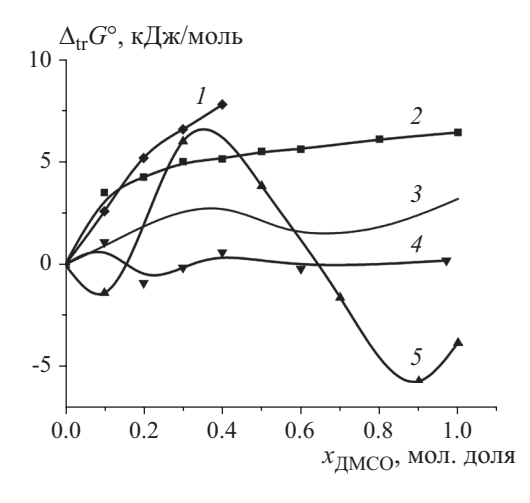
четным путем, исходя из литературных значений  $\Delta_{\rm tr} G^{\circ}({\rm Ag}^{+})$  [27],  $\Delta_{\rm tr} G^{\circ}([{\rm AgCryp}]^{+})$  [28] из воды в смеси вода—ДМСО и значений констант устойчивости в водно-диметилсульфоксидных растворах криптатного комплекса серебра(I) [29]:

$$\Delta_{\rm tr}G_{\rm r}^{\circ} = -2.303RT(\lg K^{\rm mix} - \lg K^{\rm w}), \tag{4}$$

$$\begin{split} \Delta_{\text{tr}}G_{\text{r}}^{\circ} &= \Delta_{\text{tr}}G^{\circ}([\text{AgCryp}]^{+}) \\ &- \Delta_{\text{tr}}G^{\circ}(\text{Cryp}) - \Delta_{\text{tr}}G^{\circ}(\text{Ag}^{+}), \end{split} \tag{5}$$

где  $\lg K^{\min}$  и  $\lg K^{\text{w}}$  – константы устойчивости комплекса серебра(I) с криптандом[2.2.2] в водно-диметилсульфоксидном и водном растворах соответственно.

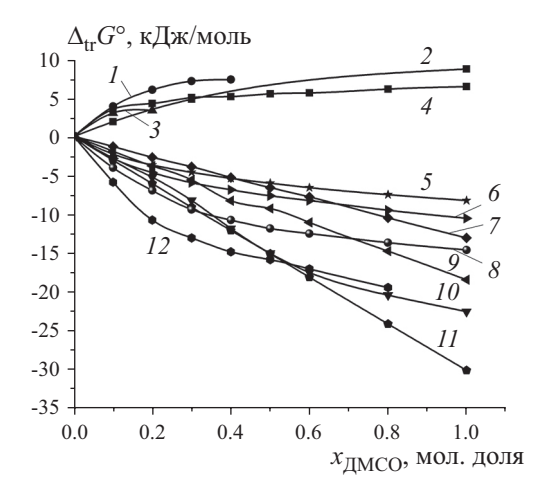
Результаты расчета не позволили достоверно оценить параметры переноса криптанда [2.2.2] из воды в растворитель вода—диметилсульфоксид, поскольку полученная зависимость  $\Delta_{\rm tr}G^{\circ}({\rm Cryp}) = f(x_{\rm ДМСО})$  (рис. 1) носит немонотонный характер и противоречит данным [25, 26]. Несоответствие результатов расчета экспериментальным данным частично можно объяснить различием в условиях определения величин, используемых при расчете в уравнении (5) ( $T=298~{\rm K}$  [27, 29], 303 K [28]), а также наложением погрешностей величин, представленных в работах [27–29].



**Рис. 1.** Изменение энергии Гиббса переноса из воды в водно-диметилсульфоксидный растворитель: I – этилендиамина [36], 2 – криптанда[2.2.2] (экспериментальное), 3 — реакционных центров криптанда[2.2.2] [29], 4 – 18-краун-6-эфира [37], 5 – криптанда[2.2.2] [расчет по уравнению (5)].

Известно, что термодинамические параметры сольватации определяются вкладом функциональных групп растворенной молекулы [30–33]. Простой подход к расчету термодинамических параметров сольватации сложных химических соединений в растворах по аддитивности групповых вкладов вызывает затруднения, поскольку не учитывает взаимное влияние атомов и групп в молекуле, стерические эффекты [34, 35], тем не менее сопоставление термодинамических характеристик соединений, содержащих схожие структурные фрагменты, позволяет оценить, пересольватация каких функциональных групп вносит основной вклад в параметры пересольватации молекулы. Трехмерный макроцикл криптанд[2.2.2] состоит из двух узловых атомов азота, соединенных оксиэтиленовыми цепочками [N(CH<sub>2</sub>CH<sub>2</sub>OCH<sub>2</sub>CH<sub>2</sub>OCH<sub>2</sub>CH<sub>2</sub>)<sub>3</sub>N]. Сравнение  $\Delta_{\rm tr}G^{\circ}$  криптанда[2.2.2] с энергией Гиббса переноса этилендиамина [36] и 18-краун-6-эфира [37] из воды в водно-диметилсульфоксидные смеси позволяет предположить, что ослабление сольватации криптанда[2.2.2] в смешанном растворителе определяется в основном десольватацией атомов азота макроцикла (рис. 1). Этому не противоречат данные работы [29], в которой рассчитана энергия Гиббса переноса реакционных центров криптанда[2.2.2] из воды в смеси вода-ДМСО (рис. 1) для процесса комплексообразования криптата серебра(І), если учесть склонность Ag<sup>+</sup> к линейной координации и повышенное сродство к атомам азота по сравнению с атомами кислорода [38].

Рассмотрение значений энергии Гиббса переноса из воды в водно-диметилсульфоксидный растворитель различных гетерофункциональных соединений показывает, что увеличение концентрации ДМСО в растворе может приводить как усилению, так и к ослаблению сольватации частиц. Результаты ряда исследований показывают, что при переходе от воды к водно-диметилсульфоксидным смесям наблюдается усиление сольватации соединений, которые содержат ароматические фрагменты, нитрогруппы, амидные группы (синапиновой кислоты [39], барицитиниба [40], бергенина [41], производных пиридазинона [42], нитробензамида [43], гистидина [44], мелоксикама [45], фенформина [46], никотинамида [47], изотретиноина [48], кумарина [49], тиаметоксама [50], бензойной кислоты [51], кверцетина [52], флавоноида нарингина [53], микофлавина [54])

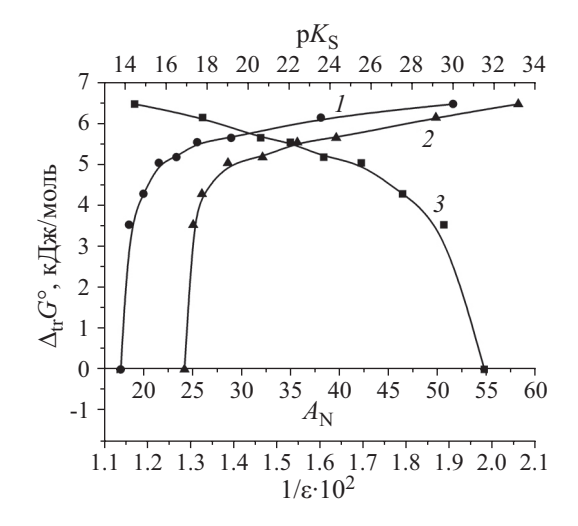


**Рис. 2.** Изменение энергии Гиббса переноса из воды в водно-диметилсульфоксидный растворитель: 1 — глицина [55], 2 — аммиака [57], 3 — глицилглицина [56], 4 — криптанда[2.2.2], 5 — фенформина [46], 6 — нитробензамида [43], 7 — бергенина [41], 8 — тиаметоксама [50], 9 — синапиновой кислоты [39], 10 — мелоксикама [45], 11 — изотретиноина [48], 12 — гистидина [44].

(рис. 2). Для соединений, содержащих аминогруппы (глицина [55], глицилглицина [56], этилендиамина [36]), аммиака [57], как и для криптанда[2.2.2], характерен рост положительного значения энергии Гиббса переноса из воды в водно-диметилсульфоксидный растворитель (рис. 2). В работе [58] также установлено, что перенос аминов (метил-, диметил- и триметиламина, моноэтиламина, пропиламина) из воды в диметилсульфоксид сопровождается ослаблением их сольватной оболочки.

В литературе процесс пересольватации криптанда[2.2.2] в смешанных растворителях охарактеризован данными об изменении энергии Гиббса переноса макроцикла из воды в смеси вода-ацетонитрил [59]. В работе [59] установлено, что в отличие от водно-диметилсульфоксидных смесей в водно-ацетонитрильном растворителе ослабление сольватации криптанда[2.2.2] происходит лишь при высоком содержании ацетонитрила. При переходе от воды к индивидуальным органическим растворителям ослабление сольватации криптанда[2.2.2] наблюдается в превалирующем большинстве случаев. Данные работ [25, 26, 60] демонстрируют, что перенос криптанда[2.2.2] из воды в неводные растворители (диметилформамид, пропиленкарбонат, нитрометан, жидкие углеводороды, низшие спирты, эфиры, нитрилы) характеризуется положительной величиной  $\Delta_{\rm tr} G^{\circ}$ . Отрицательное значение энергии Гиббса переноса криптанда[2.2.2] наблюдается при переходе от воды к хлороформу и дихлорметану [25].

Сольватирующая способность растворителя определяется рядом параметров, такими как диэлектрическая проницаемость растворителя, его склонность к автопротолизу, полярность, донорноакцепторные числа и др. [61-67]. Взаимодействия между молекулами растворенного вещества и растворителя устанавливаются с участием разных по природе сил. Зачастую влияние концентрации органического сорастворителя в водно-органических смесях на количественные характеристики процесса сольватации можно оценить с электростатических позиций [61, 68]. В данной работе математическая обработка экспериментальных результатов показала отсутствие линейной корреляции изменения энергии Гиббса переноса криптанда[2.2.2] из воды в смеси вода-ДМСО от обратных значений диэлектрической проницаемости (1/є) [68] и показателей констант автопротолиза (р $K_S$ ) [69] водно-диметилсульфоксидного растворителя (рис. 3), что может указывать на проявление специфической сольватации [70]. Для оценки роли специфической сольватации используют донорно-акцепторные числа ( $D_{\rm N}$  (ккал/моль),  $A_{\rm N}$ ) [65, 66, 71]. Молекулы, содержащие донорные



**Рис. 3.** Функции переноса криптанда[2.2.2] из воды в водно-диметилсульфоксидный растворитель:  $1 - \Delta_{\rm tr} G^{\circ}({\rm Cryp}) = f(pK_{\rm S}), \ 2 - \Delta_{\rm tr} G^{\circ}({\rm Cryp}) = f(1/\epsilon), \ 3 - \Delta_{\rm tr} G^{\circ}({\rm Cryp}) = f(A_{\rm N}).$ 

атомы азота и кислорода, характеризуются высоким значением донорных чисел [например,  $D_N = 59.0$ (аммиак [72]),  $D_{\rm N}$  = 50.0 (этилендиамин [73]),  $D_{\rm N}$  = 37.1 (триэтиламин [74]),  $D_N = 19.2$  (диэтиловый эфир [74])], что позволяет судить о высокой электронодонорной способности криптанда[2.2.2]. Соответственно, переход от воды ( $D_N = 18$  [75]) к диметилсульфоксиду ( $D_N = 29.8$  [71],  $D_N = 30.0$  [76]) не создает благоприятные условия для сольватации макроцикла. Зависимость  $\Delta_{tr}G^{\circ}(Cryp)$  от акцепторного числа водно-диметилсульфоксидного растворителя [77] описывается линейной корреляцией, характеризующей определенный вклад специфических взаимодействий в сольватации криптанда[2.2.2], в области концентраций ДМСО 0.3-1.0 мол. доли (рис. 3). Нелинейность зависимостей, представленных на рис. 3, в области малых концентраций диметилсульфоксида может быть связана со структурной перестройкой растворителя при добавлении ДМСО (нарушением высокоструктурированной H-сетки воды, образованием гидратов  $n \perp MCO \cdot mH_2O$ [78-82]). Некоторые физико-химические свойства и термодинамические параметры водно-диметилсульфоксидных смесей изменяются экстремально в зависимости от концентрации диметилсульфоксида, проходя через максимум или минимум при  $x_{\text{ЛМСО}} = 0.3-0.4$  мол. доли [78–86]). Полученные в работе зависимости  $\Delta_{tr}G^{\circ}(Cryp)$  от содержания ДМСО и свойств водно-диметилсульфоксидных смесей имеют перегиб в данной области составов смешанного растворителя.

#### выводы

Таким образом в настоящей работе установлено, что увеличение концентрации диметилсульфоксида в водно-органическом растворе приводит к ослаблению сольватации криптанда[2.2.2]. Полученные результаты дополняют справочные данные по термодинамическим свойствам криптандов.

#### ЭКСПЕРИМЕНТАЛЬНАЯ ЧАСТЬ

В работе использовали криптанд[2.2.2] (Merck KGaA, Германия, содержание основного компонента ≥ 99%), воду (бидистиллят), гексан (ХЧ), диметилсульфоксид (ХЧ), хлорную кислоту (ХЧ).

Определение энергии Гиббса переноса криптанда[2.2.2] из воды в водно-диметилсудьфоксидный

растворитель методом распределения частиц между двумя несмешивающимися фазами выполнено при температуре 298 К. Исходный водно-диметилсульфоксидный (водный) раствор криптанда[2.2.2] готовили с концентрацией 8·10<sup>-3</sup> моль/л. Для проведения эксперимента в герметичную термостатируемую ячейку помещали равные аликвоты (по 10 мл) водно-диметилсульфоксидного (водного) раствора криптанда[2.2.2] и гексана. В течение 8 ч проводили перемешивание. После отстаивания гетерогенной системы в течение 15 ч отбирали пробу нижнего водно-диметилсульфоксидного (водного) слоя. Равновесную концентрацию криптанда[2.2.2] в нижнем слое устанавливали методом потенциометрического титрования по хлорной кислоте, раствор которой готовился на основе водно-диметилсульфоксидного растворителя соответствующего состава. Равновесную концентрацию криптанда[2.2.2] в верхнем гексановом слое рассчитывали по разности исходной концентрации криптанда[2.2.2] и равновесной в водно-диметилсульфоксидном (водном) слое.

#### ФИНАНСОВАЯ ПОДДЕРЖКА

Работа выполнена при поддержке Министерства образования и науки России (соглашение № 075-15-2021-671) с использованием ресурсов Центра коллективного пользования научным оборудованием Ивановского государственного химико-технологического университета.

#### КОНФЛИКТ ИНТЕРЕСОВ

Авторы заявляют об отсутствии конфликта интересов.

#### СПИСОК ЛИТЕРАТУРЫ

- Ferry J., Larson R.A. // J. Chromatogr. Sci. 1991. Vol. 29.
  N 11. P. 476. doi 10.1093/chromsci/29.11.476
- Alzakia F.I., Sun W., Pennycook S.J., Tan S.C. // ACS Appl. Mater. Interfac. 2020. Vol. 12. N 2. P. 3096. doi 10.1021/acsami.9b14510
- 3. *Liu L., Li B., Ouyang J., Wu Y.* // Food Chem. 2020. Vol. 333. P. 127488. doi 10.1016/j.foodchem.2020.127488
- Eugene-Osoikhia T.T., Emesiani M.C. // Chem. Search J. 2019. Vol. 10. N 2. P. 1. http://www.ajol.info/index. php/csj
- 5. Сатьясилан М., Сатишкумар К., Неполрадж А., Малик Д.А., Шупенюк В. // Макрогетероциклы. 2022. Т. 15. № 1. С. 59. doi 10.6060/mhc224206n

- Muhieddine M.H., Viswanath S.K., Armstrong A., Galindo A., Adjiman C.S. // Chem. Eng. Sci. 2022. Vol. 264.
  P. 118125. doi 10.1016/j.ces.2022.118125
- 7. *Kurada K.V., Agarwal A., De S. //* Polym. Int. 2020. Vol. 69. P. 920. doi 10.1002/pi.6034
- 8. *Трубачев А.В., Суханов Е.А.* // Аналитика и контроль. 2007. Т. 11. № 4. С. 242.
- 9. Zaitsev D., Egorov I., Agafonov V. // Chemosensors. 2022. Vol. 10. N 3. P. 111. doi 10.3390/chemosensors10030111
- Torkaman P., Yoshimura A., Lavkulich L.M., Veiga M.M. // Metals. 2023. Vol. 13. N 11. P. 1855. doi 10.3390/ met13111855
- Maldonado A.M., Basdogan Y., Berryman J.T., Rempe S.B., Keith J.A. // J. Chem. Phys. 2020. Vol. 152. P. 130902. doi 10.1063/1.5143207
- Guo-Zhu J., Jie Q. // Fluid Phase Equilibr. 2014. Vol. 365.
  P. 5. doi 10.1016/j.fluid.2013.12.014
- Gholiee Y., Salehzadeh S. // J. Mol. Liq. 2020. Vol. 309.
  P. 113149. doi 10.1016/j.molliq.2020.113149
- 14. *Li Z., Shen Y., Huang C.* // J. Chem. Thermodyn. 2023. Vol. 185. P. 107109. doi 10.1016/j.jct.2023.107109
- Inoue H., Zhou H., Ando H., Nakagawa S., Yamada T. // Chem. Sci. 2024. Vol. 15. P. 146. doi 10.1039/ D3SC04955H
- Liu C., Zhao D., Zhang H., Wang Y., Bai H., Liu Q. // Fluid Phase Equilibr. 2021. Vol. 550. P. 113236. doi 10.1016/j.fluid.2021.113236
- 17. Robertson H., Nelson A.R.J., Prescott S.W., Webber G.B., Wanless E.J. // Polym. Chem. 2023. Vol. 14. P. 1526. doi 10.1039/D2PY01487D
- 18. *Хираока М.* Краун-соединения. Свойства и применение. М.: Мир, 1986. 363 с.
- Blevins D.W., Rigney G.H., Fang M.Y., Akula M.R., Osborne G.R. // Nucl. Med. Biol. 2019. Vol. 74. P. 41. doi 10.1016/j.nucmedbio.2019.07.008
- 20. Amendola A., Bergamaschi G., Boiocchi M., Albertoc R., Braband H. // Chem. Sci. 2014. Vol. 5. P. 1820. doi 10.1039/c3sc53504e
- Arnaud-Neu F., Spiess B., Schwing-Weill M.J. // Am. Chem. Soc. 1982. Vol. 104. N 21. P. 5641. doi 10.1021/ja00385a014
- 22. Рудаков О.Б., Востров И.А., Федоров С.В., Филиппов А.А., Селеменев В.Ф., Приданцев А.А. Спутник хроматографиста. Методы жидкостной хроматографии. Воронеж: Водолей, 2004. 528 с.
- 23. Граждан К.В., Гамов Г.А., Душина С.В., Шарнин В.А. // ЖФХ. 2012. Т. 86. № 11. С. 1802; Grazhdan K.V., Gamov G.A., Dushina S.V., Sharnin V.A. // Russ. J. Phys. Chem. (A). 2012. Vol. 86. N 11. P. 1679. doi 10.1134/ S0036024412110131
- 24. *Аксенова Е.Н.* Элементарные способы оценки погрешностей результатов прямых и косвенных измерений. М.: МИФИ, 2003. 16 с.

- 25. *Marcus Y.* // Rev. Anal. Chem. 2004. Vol. 23. N 4. P. 269. doi 10.1515/REVAC.2004.23.4.269
- Abraham M.H., Ling H.C. // J. Chem. Soc. Farad. Trans. I. 1984. Vol. 80. P. 3445. doi 10.1039/F19848003445
- 27. *Kalidas C., Hefter G., Marcus Y.* // Chem. Rev. 2000. Vol. 100. N 3. P. 819. doi 10.1021/cr980144k
- 28. *Kalidas C., Raghunath R.* // Phys. Chem. Liq. 1999. Vol. 37. P. 175. doi 10.1080/00319109908045124
- 29. Зятькова Л.А., Гречин А.Г., Афанасьев В.Н. // Коорд. хим. 2004. Т. 30. № 11. С. 854; Zyat'kova L.A., Grechin A.G., Afanas'ev V.N. // Russ. J. Coord. Chem. 2004. Vol. 30. N 11. P. 805. doi 10.1023/B:RUCO.0000047468.78685.78
- 30. *Jimenez-Gravalos F., Diaz N., Francisco E., Martin-Pendas A., Suarez D.* // Chem. Phys. Chem. 2018. Vol. 19. N 24. P. 3425. doi 10.1002/cphc.201800733
- 31. Chung Y., Vermeire F.H., Wu H., Walker P.J., Abraham M.H., Green W.H. // J. Chem. Inf. Model. 2022. Vol. 62. N 3. P. 433. doi 10.1021/acs.jcim.1c01103
- 32. *Tomar D.S., Asthagiri D., Weber V. //* Biophys. J. 2013. Vol. 105. N 6. P. 1482. doi 10.1016/j.bpj.2013.08.011
- 33. *Soteras I., Orozco M., Javier L.F.* // Brazil. J. Phys. 2004. Vol. 34. N 1. P. 48. doi 10.1590/S0103-97332004000100008
- 34. *Батов Д.В.* // От химии к технологии. 2020. Т. 2. № 2. С. 1. doi 10.52957/27821900 2021 02 8
- 35. *Ureel Y., Vermeire F.H., Sabbe M.K., Van Geem K.M.* // Chem. Eng. J. 2023. Vol. 472. N 15. P. 144874. doi 10.1016/j.cej.2023.144874
- 36. Шарнин В.А., Усачева Т.Р., Кузьмина И.А., Гамов Г.А., Александрийский В.В. Комплексообразование в неводных средах. М.: Ленанд, 2019. 304 с.
- 37. Усачева Т.Р., Кузьмина И.А., Шарнин В.А., Сидоренко Н.С., Воронина С.И. // ЖФХ. 2011. Т. 85. № 6. С. 1047; Usacheva T.R., Kuz'mina I.A., Sharnin V.A., Sidorenko N.S., Voronina S.I. // Russ. J. Phys. Chem. (A). 2011. Vol. 85. N 6. P. 952. doi 10.1134/S0036024411060331
- 38. *Thaler A., Cox B.G., Schneider H.* // Inorg. Chim. Acta. 2003. Vol. 351. P. 123. doi 10.1016/S0020-1693(03)00193-2
- Shakeel F., Haq N., Salem-Bekhit M.M., Raish M. // J. Mol. Liq. 2017. Vol. 225. P. 833. doi 10.1016/j.molliq.2016.11.009
- 40. *Alshahrani S.M.*, *Shakeel F.* // Molecules. 2020. Vol. 25. N 9. P. 2124. doi 10.3390/molecules25092124
- Shakeel F., Mothana R.A., Haq N., Siddiqui N.A., Al-Oqail M.M., Al-Rehaily A.J. // J. Mol. Liq. 2016. Vol. 220.
  P. 823. doi 10.1016/j.molliq.2016.05.015
- 42. Shakeel F., Alshehri S., Imran M., Haq N., Alanazi A., Anwer M.K. // Molecules. 2020. Vol. 25. N 1. P. 171. doi 10.3390/molecules25010171
- 43. *Yuan Y., Farajtabar A., Kong L., Zhao H.* // J. Chem. Thermodyn. 2019. Vol. 136. P. 123. doi 10.1016/j.jct.2019.05.007

- 44. *Li W., Farajtabar A., Xing R., Zhu Y., Zhao H.* // J. Chem. Eng. Data. 2020. Vol. 65. N 4. P. 1695. doi 10.1021/acs. jced.9b01051
- 45. *Tinjaca D.A., Martinez F., Almanza O.A., Pena M.A., Jouyban A., Acree Jr.W.E.* // Liquids. 2022. Vol. 2. P. 161. doi 10.3390/liquids2030011
- 46. *Zhao X., Farajtabar A., Han G., Zhao H.* // J. Chem. Thermodyn. 2020. Vol. 144. P. 106085. doi 10.1016/j. jct.2020.106085
- Cysewski P., Przybylek M., Kowalska A., Tymorek N. // Int. J. Mol. Sci. 2021. Vol. 22. N 14. P. 7365. doi 10.3390/ iims22147365
- 48. Shakeel F., Haq N., Alshehri S., Alenazi M., Alwhaibi A., Alsarra I.A. // Molecules. 2023. Vol. 28. P. 7110. doi 10.3390/molecules28207110
- 49. *Ganai S., Mukherjee P., Mahali K., Saha A., Hossain A., Soldatov A.V., Henaish A.M.A., Ahmed J., Roy S.* // New J. Chem. 2023. Vol. 47. P. 13547. doi 10.1039/d3nj02412a
- Zhu C., Zhou Y., Zhao H., Farajtabar A. // Chem. Thermodyn. 2020. Vol. 150. P. 106229. doi 10.1016/ j.jct.2020.106229
- Usacheva T.R., Volynkin V.A., Panyushkin V.T., Lindt D.A., Pham T.L., Nguyen T.T.H., Le T.M.H., Alister D.A., Kabirov D.N., Kuranova N.N., Gamov G.A., Kushnir R.A., Biondi M., Giancola C., Sharnin V.A. // Molecules. 2021. Vol. 26. N 15. P. 4408. doi 10.3390/molecules26154408
- 52. *Куранова Н.Н., Кабиров Д.Н., Кашина О.В., Фам Т. Л., Усачева Т.Р.* // Изв. вузов. Сер. хим. и хим. технол. 2020. Т. 63. № 10. С. 23. doi 10.6060/ivkkt.20206310.6285
- 53. *Jabbari M., Khosravi N., Feizabadi M., Ajloo D.* // RSC Adv. 2017. Vol. 7. P. 14776. doi 10.1039/c7ra00038c
- Li X., Zhu Y., Zhang X., Farajtabar A., Zhao H. // J. Chem. Eng. Data. 2020. Vol. 65. N 4. P. 1976. doi 10.1021/acs. jced.9b01139
- 55. Гессе Ж.Ф., Исаева В.А., Шарнин В.А. // ЖФХ. 2010. T. 84. № 2. C. 385; Gesse Zh.F., Isaeva V.A., Sharnin V.A. // Russ. J. Phys. Chem. (A). 2010. Vol. 84. N 2. P. 329. doi 10.1134/S0036024410020299
- 56. Наумов В.В., Исаева В.А., Шарнин В.А. // ЖФХ. 2014. T. 88. № 3. P. 443. doi 10.7868/S0044453714030194; Naumov V.V., Isaeva V.A., Sharnin V.A. // Russ. J. Phys. Chem. (A). 2014. Vol. 88. N 3. P. 433. doi 10.1134/ S0036024414030194
- 57. Нищенков А.В., Шарнин В.А., Шорманов В.А., Крестов Г.А. // ЖФХ. 1990. Т. 84. № 1. С. 114.
- 58. *Mucci A., Domain R., Benoit R.L.* // Can. J. Chem. 1980. Vol. 58. N 9. P. 953. doi 10.1139/v80-151
- Cox B. G., Firman P., Gudlin D., Schneider H. // J. Phys. Chem. 1982. Vol. 86. N 25. 4988. doi 10.1021/ j100222a030
- Namor A.F.D., Ponce H.B., Viguria E.C. // J. Chem. Soc. Farad. Trans. I. 1986. Vol. 82. P. 2811. doi 10.1039/ F19868202811

- 61. *Чуев Г.Н., Базилевский М.В.* // Усп. хим. 2003. Т. 72. № 9. С. 827; *Chuev G.N., Basilevsky M.V.* // Russ. Chem. Rev. 2003. Vol. 72. N 9. P. 735. doi 10.1070/RC2003v-072n09ABEH000775
- 62. Xue M., Huang D.-Z., Yang K.-X., Chen L.-Z., Zheng Z.-H., Xiang Y., Huang Q.-W., Wang J.-L. // J. Mol. Liq. 2021. Vol. 330. P. 115639. doi 10.1016/j.molliq.2021.115639
- 63. *Танганов Б.Б., Могнонов Д.М.* // Изв. вузов. Прикл. хим. и биотехнол. 2019. Т. 9. № 4. С. 612. doi 10.21285/2227-2925-2019-9-4-612-620
- 64. *Doluia B.K., Bhattacharya S.K., Kundu K.K.* // Ind. J. Chem. (A). 2007. Vol. 46. P. 1081.
- 65. *Цыпина Н.А., Кижняев В.Н., Адамова Л.В.* // Высокомол. соед. (A). 2003. Т. 45. N 10. C. 1718.
- 66. *Тюнина Е. Ю., Баделин В. Г.* // Жидкие кристаллы и их практ. использование. 2010. Вып. 3 (33). С. 64.
- 67. Эмануэль Н.М., Кнорре Д.Г. Курс химической кинетики. М.: Высшая школа, 1984. 463 с.
- 68. *Yang L.-J., Yang X.-Q., Huang K.-M., Jia G.-Z., Shang H.* // Int. J. Mol. Sci. 2009. Vol. 10. P. 1261. doi:10.3390/ijms10031261
- Bosch E., Fonrodona G., Rafols C., Roses M. // Analyt. Chim. Acta. 1997. Vol. 349. N 1–3. P. 367. doi 10.1016/ S0003-2670(97)00191-8
- 70. Балятинская Л.Н. // Усп. хим. 1979. Т. 48. № 4. С. 772.
- 71. *Gutmann V.* // Electrochim. Acta. 1976. Vol. 21. N 9. P. 661. doi 10.1016/0013-4686(76)85034-7
- 72. Блументаль Г., Энгельс 3., Фиц И., Хабердитцль В., Хекнер К.-Х., Хенрион Г., Ландсберг Р., Шмидт В., Шольц Г., Штарке П., Вильке И., Вильке К.-Т. Анорганикум. М.: Мир, 1984. 668 с.
- 73. *Цветков В.Г., Буслаева М.Н., Кругляк А.И.* // Реакц. способн. орг. соед. 1980. Т. 17. Вып. 2(62). С. 129.
- 74. *Райхард К*. Растворители и эффекты среды в органической химии. М.: Мир, 1991. 763 с.
- 75. *Карапетьянц М.Х.* Введение в теорию химических процессов. М.: Высшая школа, 1981. 333 с.
- Katayama M., Shinoda M., Ozutsumi K., Funahashi S., Inada Y. // Analyt. Sci. 2012. Vol. 28. N 2. P. 103. doi 10.2116/analsci.28.103
- 77. *Mayer U., Gerger W., Gutmann V. //* Monatsh. Chem. 1977. Vol. 108. N 2. P. 489. doi 10.1007/BF00902004
- 78. Сергиевский В.В., Скоробогатько Д.С., Рудаков А.М. // ЖФХ. 2010. Т. 84. № 3. С. 412; Sergievskii V.V., Skorobogat'ko D.S., Rudakov A.M. // Russ. J. Phys. Chem. (A). 2010. Vol. 84. N 3. P. 350. doi 10.1134/ S0036024410030027
- 79. Верстакова Е.С., Коробковаа С.А., Носаева Т.А. // ЖФХ. 2020. Т. 94. № 4. С. 564. doi 10.31857/ S004445372004024X; Verstakov E.S., Korobkova S.A., Nosaeva T.A. // Russ. J. Phys. Chem. (A). 2020. Vol. 94. N 4. P. 738. doi 10.1134/S003602442004024X

260 ИСАЕВА и др.

- 80. Aguilar M., Dominguez H., Pizio O. // Cond. Matter Phys. 2022. Vol. 25. N 3. P. 33202. doi 10.5488/CMP.25.33202
- 81. *Kirchner B., Reiher M.* // J. Am. Chem. Soc. 2002. Vol. 124. N 21. P. 6206. doi 10.1021/ja017703g
- 82. *Plowas I., Swiergiel J., Jadzyn J. //* J. Chem. Eng. Data 2013. Vol. 58. N 6. P. 1741. doi 10.1021/je400149j
- 83. Wong D.B., Sokolowsky K.P., El-Barghouthi M.I., Fenn E.E., Giammanco C.H., Sturlaugson A.L., Fay-
- *er M.D.* // J. Phys. Chem. (B). 2012. Vol. 116. P. 5479. doi 10.1021/jp301967e
- 84. *Lam S.Y., Benoi R.L.* // Can. J. Chem. 1974. Vol. 52. N 5. P. 718. doi 10.1139/v74-113
- 85. *Macdonald D.D., Hyne J.B.* // Can. J. Chem. 1971. Vol. 49. N. 4. P. 611. doi 10.1139/v71-098
- 86. *Idrissi A., Marekha B., Barj M., Jedlovszky P.* // J. Phys. Chem. (B). 2014. Vol. 118. N 29. P. 8724. doi 10.1021/jp503352f

# Gibbs Energy of Cryptand[2.2.2] Transfer from Water to Aqueous Dimethyl Sulfoxide Solvent

V. A. Isaeva<sup>a,\*</sup>, E. I. Pogodina<sup>a</sup>, A. S. Katolikova<sup>a</sup>, and K. V. Grazhdan<sup>a,\*</sup>

<sup>a</sup> Ivanovo State University of Chemistry and Technology, Ivanovo, 153000 Russia \*e-mail: grazhdan kv@isuct.ru

Received March 5, 2024; revised April 10, 2024; accepted April 12, 2024

We represent the Gibbs energies of cryptand[2.2.2] transfer from water to different composition water—dimethyl sulfoxide solvent. The Gibbs energies were determined by interphase distribution of cryptand[2.2.2] between two immiscible solvents. We conclude, that when the dimethyl sulfoxide concentration increases, the cryptand[2.2.2] solvation is weakening.

Keywords: cryptand, solvation, distribution coefficient, Gibbs energy, water-dimethyl sulfoxide solvent